

УДК 539.184+621.375.9 : 535

ОПРЕДЕЛЕНИЕ ВРЕМЕНИ ЖИЗНИ ПО ИНТЕРФЕРЕНЦИОННЫМ БИЕНИЯМ

Э. И. Иванов и М. П. Чайка

Теоретически получено выражение для интенсивности спонтанного излучения с рабочего уровня Не—Не лазера, когда последний работает в режиме N синхронизованных продольных мод, в зависимости от частоты межмодовых биений и напряженности продольного магнитного поля. Показано, что метод интерференционных биений позволяет определять две релаксационные константы — константу релаксации населенностей и константу релаксации выстраивания. Выводы качественно подтверждены экспериментом.

Модуляция интенсивности спонтанного излучения газового лазера рассматривалась теоретически в [1]. Об экспериментальном наблюдении ее сообщалось в работах [2, 3]. В первой из названных работ наблюдены интерференционные биения и измерена продолжительность герцевской когерентности уровня $2p_4$ конфигурации $2p^53p\text{Ne}$. В [3] методом фазового сдвига измерено время жизни уровня $2p_4$.

Интенсивность спонтанного излучения, соответствующего переходу с рабочего уровня лазера i ($i=1$ — нижний рабочий уровень, $i=2$ — верхний) на уровень 0, связана с матрицей плотности $\bar{\rho}_{iq}^x$ уровня i соотношением [4]

$$I_i = C |d_i|^2 (2j_i + 1)^{-1/2} (-1)^{j_i + j_0} \sum_x \begin{Bmatrix} 1 & 1 & x \\ j_i & j_i & j_0 \end{Bmatrix} \sum_q (-1)^q \bar{\rho}_{iq}^x \Phi_{-q}^x(\mathbf{e}), \quad (1)$$

где d_i — приведенный матричный элемент дипольного момента перехода $i \rightarrow 0$; j_i и j_0 — угловые моменты уровней i и 0 соответственно; выражение в фигурных скобках — би-символ. Черта над ρ_{iq}^x означает усреднение по скоростям атомов рабочей среды. Функция $\Phi_q^x(\mathbf{e})$ содержит информацию о направлении распространения и поляризации \mathbf{e} регистрируемого спонтанного излучения. Для расположения, показанного на рис. 1,

$$\Phi_0^0 = -\frac{1}{\sqrt{3}}, \quad \Phi_0^2 = \frac{1}{\sqrt{30}} (3 \cos^2 \vartheta - 1); \quad \Phi_{\pm 2}^2 = \frac{1}{2\sqrt{5}} \cos^2 \vartheta \exp(\pm 2i\vartheta'). \quad (2)$$

При описании состояния атомов рабочей среды мы будем исходить из уравнений, приведенных в [5], дополненных членами, описывающими влияние соударений и пленения излучения; спонтанные переходы между уровнями 1 и 2 учитывать не будем.

$$\begin{aligned} \frac{d}{dt} f_{m_2 m'_2} + (\gamma_2 + i\Omega_{m_2 m'_2}) f_{m_2 m'_2} &= n_2 F(v) \delta_{m_2 m'_2} + \\ + \frac{i}{\hbar} \sum_{m_1} \{ (\text{Ed}_{m_2 m_1}) \psi_{m_1 m'_2} - \psi_{m_2 m_1} (\text{Ed}_{m_1 m'_2}) \} + \\ + \int \sum_{m''_2 m'''_2} \Gamma_{2m''_2 m'''_2}^{m_2 m'_2, \dots} (v', v) f_{m''_2 m'''_2, \dots} (v') dv' - f_{m_2 m'_2} \int \sum_{m''_2 m'''_2} \Gamma_{2m''_2 m'''_2}^{m''_2 m'''_2, \dots} (v, v') dv'; \end{aligned} \quad (3)$$

$$\begin{aligned}
 & \frac{d}{dt} \varphi_{m_1 m'_1} + (\gamma_1 + i\Omega_{m_1 m'_1}) \varphi_{m_1 m'_1} = n_1 F(v) \delta_{m_1 m'_1} + \\
 & + \frac{i}{\hbar} \sum_{m_2} \{(\text{Ed}_{m_1 m_2}) \psi_{m_2 m'_1} - \psi_{m_1 m_2} (\text{Ed}_{m_2 m'_1})\} + \\
 & + \int \sum_{m''_1 m'''_1} \Gamma_{1 m''_1 m'''_1}^{m_1 m'_1} (v', v) \varphi_{m''_1 m'''_1} (v') dv' - \varphi_{m_1 m'_1} \int \sum_{m''_1 m'''_1} \Gamma_{m''_1 m'''_1}^{m'_1 m'''_1} (v') dv'; \quad (4) \\
 & \frac{d}{dt} \psi_{m_1 m_2} + (\gamma - i\omega_0 + i\Omega_{m_1 m_2}) \psi_{m_1 m_2} = \\
 & = \frac{i}{\hbar} \left\{ \sum_{m'_2} (\text{E}, \text{d}_{m_1 m'_2}) f_{m'_2 m_2} - \sum_{m'_1} \varphi_{m_1 m'_1} (\text{Ed}_{m'_1 m_2}) \right\} + \\
 & + \int \sum_{m'_1 m'_2} \Gamma_{m'_1 m'_2}^{m_1 m_2} (v', v) \psi_{m'_1 m'_2} (v') dv' - \psi_{m_1 m_2} \int \sum_{m'_1 m'_2} \Gamma_{m'_1 m'_2}^{m_1 m_2} (v, v') dv'. \quad (5)
 \end{aligned}$$

Здесь $\frac{d}{dt} = \frac{\partial}{\partial t} + v \frac{\partial}{\partial z}$, $f_{m_2 m'_2}(v)$ — элементы матрицы плотности ансамбля атомов, имеющих заданную величину v z -проекции скорости, относящиеся

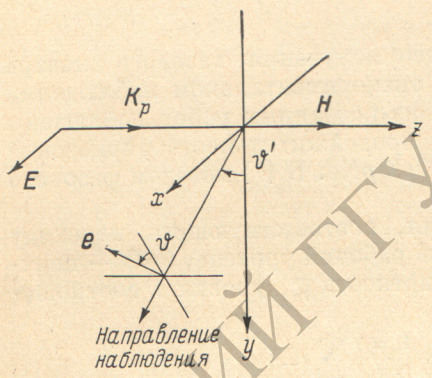


Рис. 1. Система координат и обозначения углов.

что при таких актах может в виду, что лазер работает в режиме N синхронизованных мод, электромагнитное поле генерации лазера будем описывать вектором

$$E(z, t) = \sum_{p=1}^N E_p \sin k_p z \cos (\omega_p t + \varphi_p), \quad (6)$$

где $\omega_p = \frac{\pi c}{L} (n + p)$, $k_p = \frac{\omega_p}{c}$, n — большое целое число, L — длина резонатора. В соответствии с рис. 1

$$E_x = E, \quad E_y = E_z = 0. \quad (7)$$

Разлагая $f_{m_2 m'_2}$, $\varphi_{m_1 m'_1}$ и $\psi_{m_1 m_2}$ по неприводимым тензорным операторам [5-9], получим¹ из (3), (4) и (5)

¹ В формуле (1) следует считать, что

$$\rho_{iq}^x = \begin{cases} f_q^x & \text{для } i = 2, \\ \varphi_n^x & \text{для } i = 1. \end{cases}$$

$$\begin{aligned} \frac{d}{dt} f_q^x + (\gamma_2 - iq\Omega) f_q^x = n_2 (2j_2 + 1) F(v) \delta_{x0} + \\ + \frac{i}{\hbar} (2j_1 + 1)^{-1/2} \sum_{x'q'q_1} E_{-q_1} C_{qq'q_1}^{xx'} \{ d\psi_{q'}^{x'} + (-1)^{x+x'+q'} d^* (\psi_{-q'}^{x'})^* \} + \\ + \int \sum_{x'q'} \Gamma_{2q'q}^{xx'} (v', v) f_{q'}^{x'} (v') dv' - f_q^x \int \sum_{x'q'} \Gamma_{2q'q'}^{xx'} (v, v') dv'; \end{aligned} \quad (3a)$$

$$\begin{aligned} \frac{d}{dt} \varphi_q^x + (\gamma_1 - iq\Omega) \varphi_q^x = n_1 (2j_1 + 1) F(v) \delta_{x0} + \\ + \frac{i}{\hbar} (2j_1 + 1)^{-1/2} \sum_{x'q'q_1} E_{-q_1} B_{qq'q_1}^{xx'} \{ d\psi_{q'}^{x'} + (-1)^{x+x'+q'} d^* (\psi_{-q'}^{x'})^* \} (-1)^{x+x'} + \\ + \int \sum_{x'q'} \Gamma_{1q'q}^{xx'} (v', v) \varphi_{q'}^{x'} (v') dv' - \varphi_q^x \int \sum_{x'q'} \Gamma_{1q'q'}^{xx'} (v, v') dv'; \\ \frac{d}{dt} \psi_q^x + (\gamma - i\omega_0 - iq\Omega) \psi_q^x = \end{aligned} \quad (4a)$$

$$\begin{aligned} = \frac{i}{\hbar} (2j_2 + 1)^{-1/2} d^* \sum_{x'q'q_1} E_{-q_1} \{ S_{qq'q_1}^{xx'} f_{q'}^{x'} + (-1)^{x+x'} R_{qq'q_1}^{xx'} \varphi_{q'}^{x'} \} + \\ + \int \sum_{x'q'} \Gamma_{q'q}^{xx'} (v', v) \psi_{q'}^{x'} (v') dv' - \psi_q^x \int \sum_{x'q'} \Gamma_{q'q'}^{xx'} (v, v') dv'. \end{aligned} \quad (5a)$$

В (3а), (4а) и (5а) d — приведенный матричный элемент дипольного момента перехода $2 \rightarrow 1$, а E_{q_1} в соответствии с (7) определяется соотношениями

$$E_0 = 0, \quad E_{\pm 1} = \pm \frac{1}{\sqrt{2}} E. \quad (8)$$

Далее мы будем предполагать, что интегралы

$$\bar{\Gamma}_{iq'q'}^{xx'} = \int \Gamma_{iq'q'}^{xx'} (v, v') dv' \quad \text{и} \quad \bar{\Gamma}_{i'q'q}^{xx'} = \int \Gamma_{i'q'q}^{xx'} (v', v) dv \quad (9)$$

не зависят соответственно от v и v' . Это предположение охватывает модели «сильных» и «слабых» столкновений и модель, рассмотренную в [8]. Кроме того, мы усредним уравнения (3а) и (4а) по t и z на интервалах соответственно

$$\Delta t \sim \frac{2\pi}{\omega_0} \quad \text{и} \quad \Delta z \sim \frac{2\pi c}{\omega_0}.$$

В усредненных таким образом уравнениях можно пренебречь членами $v \frac{\partial}{\partial z} f_q^x$ и $v \frac{\partial}{\partial z} \varphi_q^x$, используя неравенство $\frac{\Omega_0 u}{c} \ll \gamma_i$ (u — среднеквадратичное значение z -проекции скорости, $\Omega_0 = \omega_{p+1} - \omega_p$ — частота биений между соседними модами). После этого легко получаются уравнения для f_q^x и $\bar{\varphi}_q^{x2}$

$$\begin{aligned} \frac{d}{dt} f_q^x + (\gamma_2 - iq\Omega) f_q^x = n_2 (2j_2 + 1) \delta_{x0} + \sum_{x'q'} \bar{\Gamma}_{2q'q}^{xx'} f_{q'}^{x'} - a_{2q}^x f_q^x + \\ + \frac{i}{\hbar} (2j_1 + 1)^{-1/2} \sum_{x'q'q_1} E_{-q_1} C_{qq'q_1}^{xx'} \{ d\bar{\psi}_{q'}^{x'} + (-1)^{x+x'+q'} d^* (\bar{\psi}_{-q'}^{x'})^* \}, \end{aligned} \quad (3б)$$

где

$$a_{2q}^x = \sum_{x'q'} \bar{\Gamma}_{2q'q'}^{xx'}. \quad (10)$$

² Уравнение для $\bar{\varphi}_q^{x2}$ выглядит аналогично (3б) и здесь не выписано.

Если пленение излучения и деполяризующие соударения изотропны, то a_{iq}^x не зависит от q , а $\Gamma_{iq'q}^{xx} = b_i^x \delta_{xx} \delta_{qq'} [^6, ^7]$, так что

$$\begin{aligned} \frac{d}{dt} \bar{f}_q^x + (\gamma_2^x - iq\Omega) \bar{f}_q^x &= n_2 (2j_2 + 1) \delta_{xx} + \\ + \frac{i}{\hbar} (2j_1 + 1)^{-1/2} \sum_{x' q' q_1} E_{-q_1} C_{qq'q_1}^{xx'} \{ d\bar{\Psi}_{q'}^{x'} + (-1)^{x+x'+q'} d^* (\bar{\Psi}_{-q'}^{x'})^* \}, \end{aligned} \quad (38)$$

где

$$\gamma_2^x = \gamma_2 + a_2^x - b_2^x. \quad (11)$$

Для отыскания \bar{f}_q^x и $\bar{\varphi}_q^x$ можно использовать метод итераций, используя в качестве нулевого приближения

$$f_0^{0(0)} = \frac{n_2}{\gamma_2} (2j_2 + 1) F(v) \text{ и } \varphi_0^{0(0)} = \frac{n_1}{\gamma_1} (2j_1 + 1) F(v). \quad (12)$$

Детальный анализ влияния столкновений на оптическую когерентность должен опираться на конкретную форму ядер $\Gamma_{q'q}^{xx'}(v', v)$ и $\Gamma_{qq'}^{xx'}(v, v')$. Мы ограничимся моделью [^9], в которой уравнение (5а) имеет вид

$$\begin{aligned} \frac{d}{dt} \psi_q^x + (\gamma_q^x - i\omega_0 - iq\Omega) \psi_q^x &= \\ = \frac{i}{\hbar} (2j_2 + 1)^{-1/2} d^* \sum_{x' q' q_1} E_{-q_1} \{ S_{qq'q_1}^{xx'} f_{q'}^{x'} + (-1)^{x+x'} R_{qq'q_1}^{xx'} \varphi_{q'}^{x'} \}, \end{aligned} \quad (56)$$

где $\gamma_q^x \neq \gamma$. Из (5а) с использованием (12) легко определяются $\psi_{\pm 1}^1(v)$ первого приближения. После интегрирования этих выражений по v получим уравнения второго приближения для $\bar{\varphi}_{i0}^0$ и $\bar{\varphi}_{i0}^2, \pm 2$. Подставив их решения в (1), получим

$$I_i = I_{i0}^{(0)} + I_{i0}^{(2)} + I_{i2}^{(2)} + \bar{I}_{i2}^{(2)}, \quad (13)$$

где

$$I_{i0}^{(0)} = D_i \left[1 + \sum_{\alpha=1}^{N-1} \varepsilon_{i\alpha}^{(0)} \cos(\alpha\Omega_0 t + \varphi_{\alpha} - \psi_{i\alpha}^{(0)}) \right]; \quad (14)$$

$$I_{i0}^{(2)} = c_i D_i \left[1 + \sum_{\alpha=1}^{N-1} \varepsilon_{i\alpha}^{(2)} \cos(\alpha\Omega_0 t + \varphi_{\alpha} - \psi_{i\alpha}^{(2)}) \right] \left(\frac{1}{3} - \cos^2 \vartheta \right); \quad (15)$$

$$I_{i2}^{(2)} = -c_i D_i \frac{\cos 2\vartheta' + 2\Omega_i^{(2)} \sin 2\vartheta'}{1 + (2\Omega_i^{(2)})^2} \cos^2 \vartheta, \quad (16)$$

$$\begin{aligned} \bar{I}_{i2}^{(2)} = -\frac{1}{2} c_i D_i \sum_{\alpha=1}^{N-1} \varepsilon_{\alpha} \left\{ \frac{\cos(\alpha\Omega_0 t + \varphi_{\alpha} - 2\vartheta') + (\alpha\Omega_{0i}^{(2)} - 2\Omega_i^{(2)}) \sin(\alpha\Omega_0 t + \varphi_{\alpha} - 2\vartheta')}{1 + (\alpha\Omega_{0i}^{(2)} - 2\Omega_i^{(2)})^2} \right. \\ \left. + \frac{\cos(\alpha\Omega_0 t + \varphi_{\alpha} + 2\vartheta') + (\alpha\Omega_{0i}^{(2)} + 2\Omega_i^{(2)}) \sin(\alpha\Omega_0 t + \varphi_{\alpha} + 2\vartheta')}{1 + (\alpha\Omega_{0i}^{(2)} + 2\Omega_i^{(2)})^2} \right\} \cos^2 \vartheta, \end{aligned} \quad (17)$$

$$\Omega_{0i}^{(x)} = \frac{\Omega_0}{\gamma_i^x}, \quad \Omega_i^{(x)} = \frac{\Omega}{\gamma_i^x}, \quad \psi_{i\alpha}^{(x)} = \arctg \alpha \Omega_{0i}^{(x)}, \quad (18)$$

$$\varepsilon_{i\alpha}^{(x)} = \frac{\varepsilon_{\alpha}}{\sqrt{1 + (a\Omega_{0i}^{(x)})^2}}, \quad \varepsilon_{\alpha} = \varepsilon_{\alpha 0} \cos \alpha K_0 z, \quad K_0 = \frac{\Omega_0}{c}. \quad (19)$$

Величины $\varepsilon_{\alpha 0}$ и φ_α связаны с распределением амплитуд и начальных фаз поля генерации соотношениями

$$\varepsilon_{\alpha 0} = \frac{1}{\sum_{p=1}^N E_p^2} \left\{ \sum_{p, p'=1}^{N-\alpha} (2 - \delta_{\alpha 0}) E_p E_{p'} E_{p+\alpha} E_{p'+\alpha} \exp i(\varphi_p^\alpha - \varphi_{p'}^\alpha) \right\}^{1/2}, \quad (20)$$

$$\varphi_\alpha = \arctg \frac{\sum_{p=1}^{N-\alpha} (2 - \delta_{\alpha 0}) E_p E_{p+\alpha} \sin \varphi_p^\alpha}{\sum_{p=1}^{N-\alpha} (2 - \delta_{\alpha 0}) E_p E_{p+\alpha} \cos \varphi_p^\alpha}, \quad (21)$$

$$\varphi_p^\alpha = \varphi_{p+\alpha} - \varphi_p \quad (22)$$

и имеют смысл соответственно глубины и начальной фазы модуляции частотой $\alpha \Omega_0$ плотности энергии электромагнитного поля генерации на краях резонатора.

Первое слагаемое $I_{i0}^{(0)}$ формулы (13) описывает изменение интенсивности спонтанного излучения, обусловленное изменением населенностей рабочих уровней под влиянием поля E . Как видно из (14), населенности промодулированы всеми частотами $\alpha \Omega_0$, причем модуляция их частотой $\alpha \Omega_0$ сдвинута по фазе по отношению к модуляции плотности энергии лазерного поля на $\psi_{i\alpha}^{(0)}$. Связь $\psi_{i\alpha}^{(0)}$ с временем жизни уровня i (18) совпадает с той, которая положена в основу экспериментов по определению времен радиационного распада методом фазового сдвига [10]. Второе слагаемое $I_{i0}^{(2)}$, величина которого зависит от поляризации регистрируемого излучения, имеет ту же временную зависимость, что и $I_{i0}^{(0)}$, но с другими фазовыми сдвигами $\psi_{i\alpha}^{(2)} (\psi_{i\alpha}^{(0)} = \psi_{i\alpha}^{(2)})$ лишь в случае $\gamma_i^{(0)} = \gamma_i^{(2)}$. Оно отражает изменение интенсивности, обусловленное появлением продольного выстраивания состояния i атомов рабочей среды ρ_{i0}^2 . Эффект Ханле (16) и биения (17) являются соответственно постоянной и осциллирующей с частотой $\alpha \Omega_0$ частями той добавки к интенсивности спонтанного излучения, которая обусловлена поперечным выстраиванием $\rho_{i\pm 2}^2$.

Зависимость модуляции интенсивности спонтанного излучения от частоты модуляции, поляризации наблюдаемого излучения и величины продольного магнитного поля исследовалась экспериментально на установке, описанной в [2].

При регистрации составляющей интенсивности I_i , осциллирующей с частотой $\alpha \Omega_0$, синхронным детектором форма сигнала описывается выражением³

$$S_i = S_{i0}^{(0)} + S_{i0}^{(2)} + S_{i2}^{(2)}, \quad (23)$$

где

$$S_{i0}^{(0)} = k D_i \varepsilon_{i\alpha}^{(0)} \cos(\chi - \psi_{i\alpha}^{(0)}); \quad (24)$$

$$S_{i0}^{(2)} = k D_i c_i \varepsilon_{i\alpha}^{(2)} \cos(\chi - \psi_{i\alpha}^{(2)}) \left(\frac{1}{3} - \cos^2 \vartheta \right); \quad (25)$$

$$\begin{aligned} S_{i2}^{(1)} = & -\frac{1}{2} k D_i c_i \varepsilon_{i\alpha} \left\{ \cos \chi \left[\frac{1}{1 + (\alpha \Omega_{0i}^{(2)} - 2 \Omega_i^{(2)})^2} + \frac{1}{1 + (\alpha \Omega_{0i}^{(2)} + 2 \Omega_i^{(2)})^2} \right] + \right. \\ & \left. + \sin \chi \left[\frac{\alpha \Omega_{0i}^{(2)} - 2 \Omega_i^{(2)}}{1 + (\alpha \Omega_{0i}^{(2)} - 2 \Omega_i^{(2)})^2} + \frac{\alpha \Omega_{0i}^{(2)} + 2 \Omega_i^{(2)}}{1 + (\alpha \Omega_{0i}^{(2)} + 2 \Omega_i^{(2)})^2} \right] \right\} \cos^2 \vartheta, \end{aligned} \quad (26)$$

а χ — начальная фаза опорного напряжения. Из (23)–(26) при $H = 0$ ($\Omega = 0$) получается

$$S_i = k D_i \left\{ \varepsilon_{i\alpha}^{(0)} \cos(\chi - \psi_{i\alpha}^{(0)}) + c_i \varepsilon_{i\alpha}^{(2)} \cos(\chi - \psi_{i\alpha}^{(2)}) \left(\frac{1}{3} - 2 \cos^2 \vartheta \right) \right\}. \quad (27)$$

³ В нашем эксперименте $\vartheta' = 0$.

Видно, что в нулевом магнитном поле фазовый сдвиг модуляции спонтанного излучения по отношению к модуляции плотности энергии не совпадает в общем случае ни с $\psi_{ia}^{(0)}$, ни с $\psi_{ia}^{(2)}$.

В присутствии столкновений он равен $\psi_{ia}^{(0)}$, если

$$\frac{1}{3} - 2 \cos^2 \vartheta = 0; \quad (28)$$

если же столкновений и пленения излучения нет, при любом ϑ этот фазовый сдвиг равен $\psi_{ia}^{(0)}$ и зависит лишь от константы радиационного распада γ_i и частоты $\alpha\Omega_0$. Соотношение (27) дает один из способов выяснения различных констант $\gamma_i^{(0)}$ и $\gamma_i^{(2)}$; наличие зависимости $S(\vartheta)$ при $H=0$ и произвольном χ свидетельствует о существовании этой разницы. Мы регистрировали эту разницу несколько иначе. Именно, включая достаточно большое магнитное поле H , мы обращали в нуль сигнал интерференционных биений (26), затем, устанавливая поляроид в канале наблюдения так, чтобы

$$\frac{1}{3} - \cos^2 \vartheta = 0, \quad (29)$$

обращали тем самым в нуль сигнал продольного выстраивания (25), затем установкой $\chi = \psi_{ia}^{(0)} \pm \pi/2$ обращали в нуль сигнал модуляции населеностей (24). Оказывается, что, если выполнив все эти операции, поворачивать поляроид, появляется отличный от нуля сигнал. Его появление возможно, очевидно, лишь при $\psi_{ia}^{(2)} \neq \psi_{ia}^{(0)}$, т. е. при $\gamma_i^{(0)} \neq \gamma_i^{(2)}$.

Для определения константы $\gamma_i^{(0)}$ можно, в принципе, воспользоваться методом фазового сдвига, причем последний следует измерять либо при $H=0$ и $\cos \vartheta = 1/\sqrt{3}$, либо при достаточно большом H и $\cos \vartheta = 1/\sqrt{3}$. Однако в нашей экспериментальной установке не была предусмотрена возможность прямого измерения фазы $\psi_{ia}^{(0)}$, поэтому мы осуществиликосвенное измерение по форме сигнала интерференционных биений. Методика такого измерения фазы состояла в следующем. Сначала способом, описанным выше, фаза опорного напряжения χ устанавливалась равной $\chi_{ia}^{(0)} \pm \pi/2$. Затем поляроид в канале наблюдения устанавливался в положение, наилучшее для регистрации биений ($\vartheta = 0$), и сигнал S записывался как функция H . Фаза χ определялась путем сопоставления семейства теоретических кривых $S(H)$ с экспериментально снятой.

Экспериментальные кривые, полученные таким способом при $\alpha = 1$, $\Omega_0/2\pi = 85.8$ МГц, имели форму, близкую к лоренцевской, соответствующей $\chi = 90^\circ$, это свидетельствует о том, что Ω_0 существенно преувеличено $\gamma_1^{(0)}$. Обработка кривых показала, что разница $\gamma_1^{(2)} - \gamma_1^{(0)}$ положительна и невелика.

Анализ формул (24)–(26) показывает, что для достижения возможно большей точности определения константы $\gamma_1^{(0)}$ описываемым методом следует выбирать частоту $\Omega_0 \approx \gamma_1^{(0)}$. Исходя из результатов [2] и малости разницы $\gamma_1^{(0)}$ и $\gamma_1^{(2)}$, получаем следующее оценочное значение $\Omega_0/2\pi = 12$ МГц. Понижение частоты межмодовых биений до такой величины в Не — Не лазере связано со значительными трудностями. Нами было выяснено, что отношение сигнала к шуму при регистрации биений существенно зависит от того, работает ли генератор в режиме синхронизованных мод или режим синхронизации отсутствует. Известно, что режим синхронизации соседних продольных мод сравнительно легко осуществляется в Не — Не лазерах, имеющих длину резонатора 2 м и менее (соответствующие частоты биений — 75 МГц и более). При длинах резонатора более 2 м следует принимать специальные меры для повышения устойчивости синхронизованного режима. Мы осуществили режимы синхронизации соседних продольных мод и мод через одну, поместив в резонатор длиной 5.1 м электрооптический кристалл KDP и подавая на него напряжение частоты 27.38 и 54.76 МГц соответственно.

Типичные экспериментальные кривые, полученные для этих частот, представлены на рис. 2. Их обработка приводит к следующему значению для времени жизни $\tau_1^{(0)}$ уровня $2p_4$ неона

$$\tau_1^{(0)} = \frac{1}{\gamma_1^{(0)}} = (14.7 \pm 2.0) \text{ нсек.}$$

Точность, достигнутая в описанном эксперименте, невелика, однако существенно, на наш взгляд, что здесь имеется возможность определения

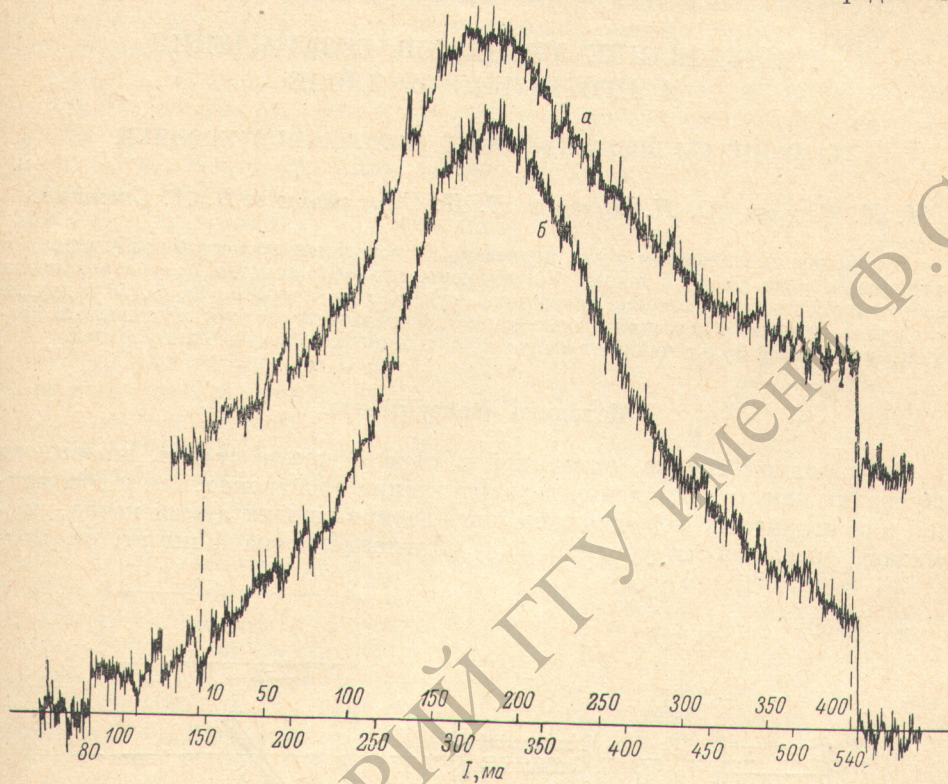


Рис. 2. Записи сигналов биений.

a — частота модуляции 27.38 Мгц (верхний масштаб), *b* — частота модуляции 54.76 Мгц (нижний масштаб).

двух констант: времени жизни уровня и времени существования герцевской когерентности, разница между которыми содержит информацию о деполяризующих соударениях. Мы хотели отметить также, что интерференционные эффекты при наличии столкновений оказывают влияние на результат измерения времен жизни методом фазового сдвига.

Авторы признательны Н. И. Калитеевскому за интерес к работе и Н. Чигирю за помощь.

Литература

- [1] М. П. Чайка. Сб. «Физика газовых лазеров», 117. Изд. ЛГУ, 1969, 1970.
- [2] Э. И. Иванов, М. П. Чайка. Опт. и спектр., 29, 124, 1970.
- [3] R. L. Fork, L. E. Horgrove, M. A. Pollak. Appl. Phys. Lett., 5, 5, 1964.
- [4] М. И. Дьяконов. ЖЭТФ, 47, 2213, 1964.
- [5] М. И. Дьяконов, В. И. Перель. ЖЭТФ, 20, 472, 1966.
- [6] М. И. Дьяконов, В. И. Перель. ЖЭТФ, 47, 1484, 1964.
- [7] М. И. Дьяконов, В. И. Перель. ЖЭТФ, 48, 345, 1965.
- [8] T. W. Hänsch, P. E. Toschek. IEEE J. Quant. Electr., 5, 61, 1969.
- [9] B. Decomps, M. Dumont. J. de Phys., 29, 181, 1968.
- [10] W. Demtroder. Z. Phys., 166, 42, 1962.